北京夏季大气 HONO 的监测研究

朱燕舞 刘文清 谢品华* 窦科 刘世胜 司福祺 李素文 秦敏

(中国科学院安徽光学精密机械研究所 合肥 230031)

摘要 $ilde{R}$ 2007-08-24 期间 利用差分光学吸收光谱(DOAS)技术 对北京市大气中 HONO、 NO_2 和 O_3 等污染物进行了连续监测 分析了 HONO 和 NO_2 的日变化特征 ,讨论了夜间直接排放对 HONO 来源的贡献,进行了 24 h 和夜间 13 h HONO 非均相反应形成与黑碳气溶胶(BC)和相对湿度(RH)等要素的相关分析 . 结果表明,HONO 和 NO_2 均在 01 DO 左右达到峰值,HONO 的另一峰值浓度出现在 06 DO ,比 NO_2 第 2 个峰值出现时间 07 DO 早 1 h 夜间 19 DO ~次日 07 DO)直接排放对 HONO 的贡献最大达到 31 .3%出现在 20 DO 平均贡献为 15% 夜间 DO , 被间 DO , 比率与 DO 和 DO 和 DO 和 DO 的浓度以及反应介质 DO 表面的吸附水的浓度即 DO 和 DO 和 DO 和 DO 和 DO 的浓度以及反应介质 DO 表面的吸附水的浓度即 DO 和 DO 和

关键词:HONO源:非均相形成:差分光学吸收光谱

中图分类号: X511; X831 文献标识码: A 文章编号: 0250-3301(2009)06--

Observational Study of Atmospheric HONO in Summer of Beijing

ZHU Yan-wu , LIU Wen-qing , XIE Pin-hua , DOU Ke , LIU Shi-sheng , SI Fu-qi , LI Su-wen , QIN Min (Anhui Institute of Optics and Fine Mechanics , Chinese Academy of Sciences , Hefei 230031 , China)

Abstract The concentration of HONO , NO_2 , O_3 and other atmospheric pollutants were observed continuously by using differential optical absorption spectroscopy (DOAS) from 2007-08-14 to 2007-08-24 in Beijing , China. Diurnal variation characteristics of HONO and NO_2 were analyzed. The HONO levels originated from the nocturnal direct emission were discussed. And the correlation between the heterogeneous formation of HONO and its related factors (BC , RH , and so on) was studied. The results showed that HONO had two peaks at about 01 00 and 06 00 , respectively , while two peaks of NO_2 concentrations appeared at about 01 00 and 07 00. The highest HONO_{em}/HONO ratio of 31.3% was observed at about 20 00 between 19 00 to 07 00 , and the average ratio was 15%. Good correlation of HONO_{corr}/NO₂ ratio with BC and RH at night was obtained. The correlation suggested that heterogeneous NO_2 to HONO conversion processes may occur on BC surfaces by reaction with absorption water , and the average nighttime conversion frequency from NO_2 into HONO was calculated about $0.8\%_{HONO/NO_2}$ h⁻¹. At the same time , the results showed that heterogeneous formation of HONO was increased with RH and inhibited at RH > 80% , and the hypothesis was further supported by detailed analysis of selected case.

Key words :HONO; source; heterogeneous formation; differential optical absorption spectroscopy(DOAS)

HONO 是大气中一种重要的含氮化合物(NO_y), 在 $300 \sim 400 \, \text{nm}$ 波段范围内光解产生羟基自由基 (\cdot OH):

 $HONO + h\nu \rightarrow \cdot OH + NO \tag{1}$

HONO 经夜间积累一般在清晨可以达到最大值,由于反应(1)需要的能量低,在清晨就已经开始,从而导致此时 HONO 成为·OH的主要来源 $^{[12]}$.而且一些研究显示,HONO 对于·OH的贡献不仅仅表现在清晨,甚至在全天都有很大意义 $^{[2\sim5]}$.·OH是大气光化学反应中最为关键的一种基团,由其引发的一系列光氧化过程将导致 $_{3}$ 、过氧乙酰硝酸酯(PAN)和大量二次污染物的形成,对光化学烟雾的形成具有重要作用.研究表明由 HONO 光解产生的·OH占每日总·OH的 $30\%^{[12]}$.其次,HONO 还是一些致癌物质

的前体物 在黑暗的背景下 HONO 与组织胺迅速反应生成影响人类健康的致癌物质——亚硝胺(R₂NNO)^{6,7}]:

 $R_2NH + HONO \rightarrow R_2NNO + H_2O$ (2) 所以开展大气 HONO 研究有着重要意义.

自 1974 年 Nash 及 1979 年 Perner 等开展了大气中 HONO 的首次测量^[8,9]后,国外在该方面开展了大量的外场实验和研究^[4,10~13],目前 HONO 的研究热点主要集中在对·OH的贡献和其来源 2 个方面. 就

收稿日期 2008-08-01 ;修订日期 2008-09-27

基金项目 国家自然科学基金项目(40675072,40805015);国家高技术研究发展计划(863)项目(2006AA06A301,2007AA12Z109)

作者简介 朱燕舞(1977~),女,博士研究生,主要研究方向为大气 环境监测, E-mail: zhuyw@aiofm.ac.cn

^{*} 通讯联系人 E-mail:phxie@aiofm.ac.cn

其来源而言 现在一般认为 HONO 有 3 种来源:直接排放、均相反应和非均相反应.但是直接排放和均相反应对大气中高浓度的 HONO 都不能作出合理解释,目前国际普遍认为大气中 HONO 主要来源于以下 2 个非均相反应^[10,14~19],这 2 个反应可以发生在物体表面(如:建筑物、土壤、雪地等)和气溶胶表面.

NO(
$$N_2O_3$$
) $_{gas}$ + $NO_{\chi gas}$ + $H_2O_{(liq)} \xrightarrow{surface}$ 2HONO $_{gas}$ (3)

$$2NO_{\chi_{gas}} + H_2O_{(liq)} \xrightarrow{surface} HONO_{(gas)} + HONO_{\chi_{gas}}$$
(4)

目前国内也开展了该方面的一些研究^{20 21]},但是还相当有限,尤其对 HONO 非均相形成途径等方面的问题仍在讨论中,因此在我国重要城市北京开展 HONO 的观测研究具有重要基础性意义.本研究基于差分吸收光谱(DOAS)技术对北京 2007 年夏季大气中的 HONO 开展了外场观测实验,讨论了 HONO 和NO₂ 的日变化特征,分析了夜间直接排放对 HONO 来源的贡献,同时探讨了 BC、RH、PM₁₀等要素对 HONO 非均相反应形成的影响,对今后研究 HONO 的来源提供依据并对了解此过程具有一定意义.

1 材料与方法

1.1 实验地点

实验测量地点位于北京市(116°20′E,39°56′N) 德胜门外祁家豁子附近,处于北京市正北的四环和三环之间. DOAS 望远镜放置在中国科学院地质和地球物理研究所9楼楼顶,角反射器放置于中国科学院大气物理研究所气象塔的16m平台上,望远镜和角反射器之间的距离为470m,测量光程940m,测量光路横穿南北走向的八达岭高速,测量点附近主要是交通和居民区以及建筑工地.

1.2 DOAS 系统结构及光谱数据反演

DOAS 系统主要由光学部分和电子学两大部分组成.光学部分包括光源、望远镜、光纤、光谱仪、探测器及角反射器.电学部分主要由信号采集及数据处理系统组成.图 1显示了实验采用的 DOAS 系统结构 ,高压氙灯发出的光经望远镜准直后进入大气 ,经角反射镜反射回来被望远镜接收并聚焦在光纤束 (由 7 根直径为 100 µm 的紫外石英光纤组成)的入射端面.光通过光纤耦合到光谱仪的入射狭缝 经光谱仪分光后 ,由 CCD 探测器接收 经过 16 位 A/D 模数转换后输入计算机 ,最后以成像或光谱曲线的形式显示出来.

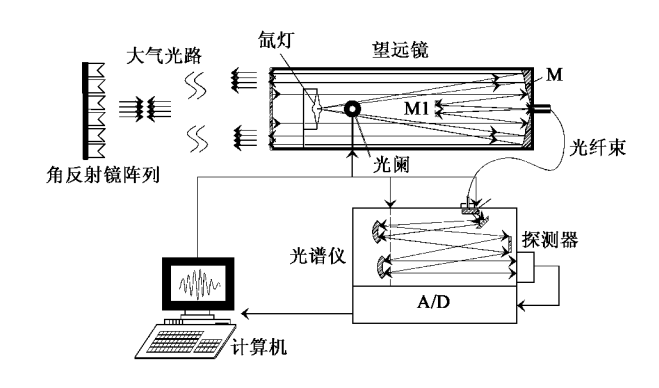


图 1 DOAS 系统示意

Fig. 1 Sketch of DOAS system

实验系统一次可以采集 89.6 nm 的光谱范围, 因此可同时获得 HONO、NO2、O3 和 SO2 的浓度信息, 在 286~322 nm 波段范围反演 O₃和 SO₃浓度,在 336~370 nm 波段范围反演 HONO、NO, 浓度.由于 多种污染物之间存在吸收重叠的影响。对 DOAS 的 浓度反演算法进行优化.根据各个气体的主要吸收 波段 尽量减少其他气体的干扰,对于 HONO、NO。 的反演 将氙灯结构和 HCHO 吸收作为干扰气体参 与数据反演过程,同时在数据反演时对参加拟合的 氙灯结构和气体参考光谱的漂移、压缩或拉伸等都 进行了相应的设定,从而有效的弥补了环境温度变 化产生的光谱漂移、压缩或拉伸,图2显示了HONO 和 NO_2 浓度反演过程 其中 a 是差分光学密度(D):b 是 D 谱与浓度 41.2×10^{-9} 体积分数 下同 NO_{5} 参考 谱 粗线 的叠加 c 是 D 谱扣除 NO₂ 的吸收后与 3.7 ×10⁻⁹ HONO 参考谱(粗线)的叠加; 是拟合后的剩 余噪声,为了确保实验期间 DOAS 系统的稳定性及减 少因外界因素干扰造成的实验误差 .每天在固定时间 对系统采用汞灯校准以及进行部分系统测试.

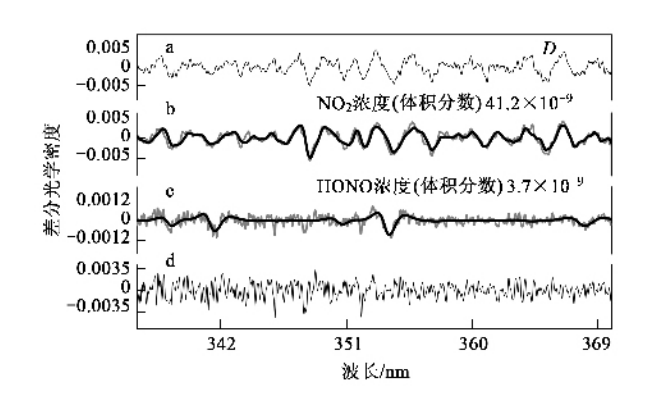


图 2 336~370 nm HONO 和 NO₂ 反演过程 Fig. 2 Retrieved HONO and NO₂ absorptions in

the wavelength range 336 ~ 370 nm

2 结果与讨论

2.1 污染气体浓度时间序列

图 3 显示了实验期间 DOAS 系统监测的污染气体浓度时间序列.表 1 总结了各污染气体的反演波段、最小值、最大值、中间值以及最低检测限,其中最低检测限由光谱的统计噪声和系统噪声决定,根据光谱拟合后的剩余噪声和污染气体差分吸收截面进行计算得到[2223].图 3 中显示出 O₃ 明显的日变化趋势,白天因光化学反应浓度达到峰值,夜间光化学反应停止以及与 NO 等的反应使其浓度急剧降低并达到最低值.NO₂ 和 HONO 具有相似的变化趋势,白天光解浓度较低,夜间因浓度积累一般出现峰值

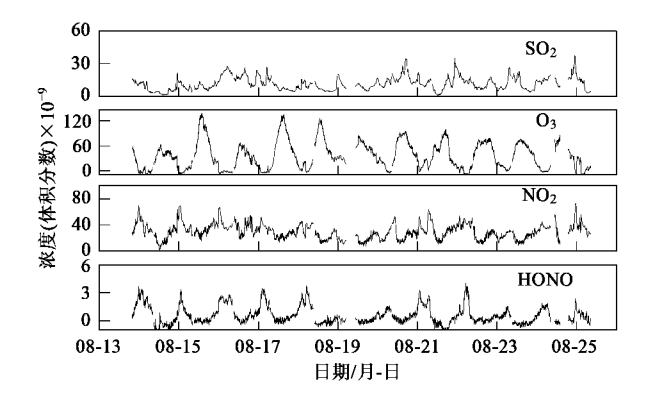


图 3 DOAS 系统监测污染气体浓度时间序列

Fig. 3 Time serials of the trace gas measured by DOAS system

附近监测点提供了本次实验的温度、风速、风向和相对湿度等气象数据;NO 由中国科学院大气物理研究所提供.图 4显示了测量期间的风速、风向、相对湿度、温度以及气压等气象状况.测量期间2 m/s以上的风向主要是北风和西南风,因此 DOAS系统所观测到的污染物主要来自交通排放和西南方向的污染源.

表 1 DOAS 监测污染气体的总体概况/×10⁻⁹
Table 1 Overview of the measured species/×10⁻⁹

气体	平均值	最大值	最小值	中间值	检测限(2σ)
SO ₂	11.2	37.7	0.71	10.66	0.30
O_3	37.6	141.6	检测限下	31.3	2.17
NO_2	29.4	72.2	0.7	28.5	0.63
HONO	0.80	4.0	检测限下	0.35	0.41

2.2 HONO 来源的探讨

2.2.1 直接排放对夜间 HONO 来源的贡献

HONO 的直接排放主要来源于燃烧过程,如石化燃料的燃烧 机动车尾气的排放.使用文献 24]中通用的计算公式(5)计算直接排放的 HONO 浓度占

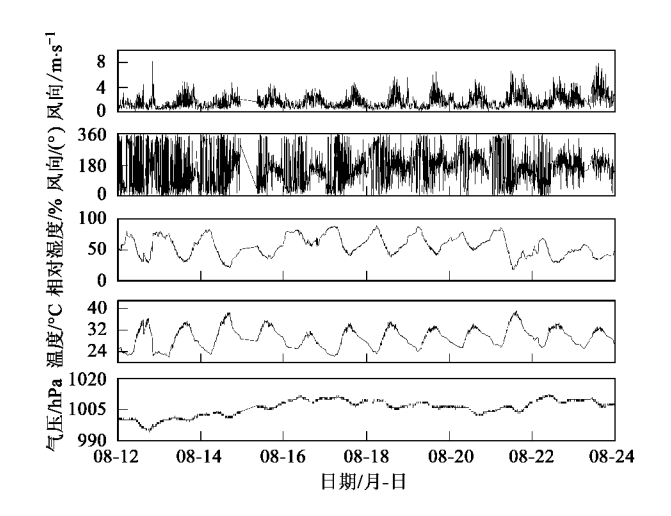


图 4 实验期间气象条件测量结果

Fig. 4 Time series of the meteorological parameters

夜间总 HONO 浓度的比率 ,式中系数0.003 5是根据 Kirchstetter 等 ²⁵¹通过研究美国交通隧道得到的实验 结果.

$$R_{\text{HONO}_{\text{em}}/\text{HONO}} = \frac{0.003 \text{ f NO}_x}{\Gamma \text{ HONO}} \frac{1}{3} (5)$$

式中 , $HONO_{em}$ 表示直接排放的 HONO 浓度 , NO_x 表示 NO_x 和 NO 浓度之和 .

为了与 NO 等数据的时间分辨率一致,将 DOAS 系统的监测结果进行了小时平均(文中除特别注明外 数据均采用小时均值).对实验数据进行小时均值的日变化统计,选取夜间(19 100~次日 07 100)时间段来分析直接释放对 HONO 来源的贡献.计算结果表明最高 HONO_{em}/HONO 比值 31.3% 出现在20 100 这与晚间的交通量高峰时刻一致;夜间(19 100~次日 07 100) HONO_{em}/HONO 平均比值为15%,可见夜间直接排放所占的比例较小,说明夜间HONO 还存在其它主要来源途径.

2.2.2 夜间 HONO 非均相来源探讨

图 5 显示了监测期间 NO₂ 和 HONO 典型日变化 趋势(竖线表示系统测量 NO₂ 和 HONO 的浓度变化 范围). NO₂ 日变化存在 2 个峰 ,一个为 01 100 左右 ,另一个为 07 100 左右 ,这 2 个峰均与机动车高峰相 对应 ,而且第 1 个峰值浓度要高于第 2 个峰值 ,这主要因为监测点靠近八达岭高速公路 ,除了上下班的交通高峰以外 较多的货车在夜间行使 因此即使在夜间监测点的交通量仍较高 ,致使第 1 个峰值浓度较高 ,达到近 40 × 10⁻⁹ .高峰过后 NO₂ 浓度开始降低 ,但是随着清晨上班高峰的出现 ,NO₂ 达到第 2 次峰值 ,随后由于太阳辐射 NO₃ 光解浓度开始下降 ,

最低值出现在 13:00 左右.午后和夜间随着 NO₂ 光解的减弱、消失以及交通排放的累积 ,NO₂ 浓度开始增加直至出现第 1 个峰值.

HONO 呈现出白天浓度低夜间浓度高的变化趋势.凌晨随着 NO₂ 第 1 个峰值的出现,HONO 也在 01 :00 左右出现第 1 个峰值浓度 1.7 × 10⁻⁹,并在 06 :00 左右出现第 1 个峰值 1.9 × 10⁻⁹.由于太阳照射 HONO 光解浓度急剧下降,最小值出现在 12 :00 ~ 15 :00.和 NO₂ 的第 2 个峰值相比发现,HONO 出现第 2 个峰值时间比 NO₂ 早 1 h,原因是 NO₂ 浓度的增加所生成的 HONO 不足以弥补 HONO 光解所减少的量.而且从 17 :00 左右其浓度才开始缓慢上升,远远晚于 NO₂ 浓度上升的时间,主要因为夏季太阳照射时间较久和 NO₂ 生成 HONO 的反应相比,HONO的光解反应处于优势地位,从而使得 HONO 较长时间维持低值.

为了对 HONO 源进行探讨 采用公式 6 对实验 HONO 的浓度进行校正,得到去除直接排放部分的 HONO 浓度(以 HONO_{corr}表示通过反应生成的 HONO),以下均采用 HONO_{corr}进行相应的分析.

 $HONO_{corr} = [HONO] - 0.0035 \times [NO_x]$ (6) 利用 Alicke 等 21 所介绍的夜间 $HONO-NO_2$ 转化速率的方法估算夜间 NO_2 生成 HONO 的转化率 公式(7)]:

$$\overline{F_{\text{HONO anight}}} = \frac{\left[\begin{array}{c} \text{HONO}_{\text{corr}} \end{array}\right]_{t_2}) - \left[\begin{array}{c} \text{HONO}_{\text{corr}} \end{array}\right]_{t_1})}{\left(\begin{array}{c} t_2 - t_1 \end{array}\right) \cdot \left[\begin{array}{c} NO_2 \end{array}\right]_{\text{night}}} (7)$$
 计算 HONO 夜间浓度增加的时段 22 00 ~ 次日01 00 (如图 5),得到 HONO 平均生成率为 $0.8\%_{\text{HONO/NO}_2}$ h^{-1} 结果与 Alicke 等 2 在意大利和德国柏林以及郝楠 2 6 在上海的测量结果相近.

目前众多的研究[3 10 14 27]表明 NO₂ 的非均相反

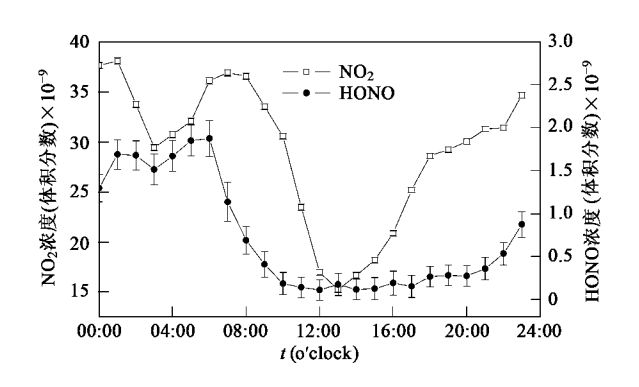


图 5 NO₂ 和 HONO 平均日变化趋势

Fig. 5 Average diurnal patterns of NO₂ and HONO

应是 HONO 的主要源,能够提供非均相反应的物质 表面较多,这里研究了与 HONO 生成相关的影响因 素与 HONO , 之间的相关关系, 如表 2 所示. 可 见夜间(19:00~07:00)HONO , 与各影响因素 之间的相关关系明显高于 1 d 24 h 的相关关系 .说 明日间 HONO 的变化比夜间复杂 .很难用简单的线 性关系进行描述. 从夜间的相关关系中发现,夜间 HONO_{cor}/NO₂ 与 PM₂₅的相关性差 ,与 PM₁₀的相关性 也不高,而与黑碳气溶胶(BC)和相对湿度(RH)的相 关性较好 表明 BC 和 RH 在非均相反应生成 HONO 过程中可能起着积极作用.BC 是化石和生物质燃料 不完全燃烧向大气排放的颗粒物 ,其表面可以吸附 一些污染物质,如 SO₂、NO₂等,而且 BC 在大气中为 非均相反应和气-粒转化过程提供一个活性载体并 起到催化的作用^[28],本研究观测结果与 Ammann 等^{10]}的结果吻合,其发现 NO。在新鲜的煤烟颗粒物 表面非均相生成 HONO 的速率比其它表面要大 10⁵ ~107量级,由于监测点紧邻建筑工地和高速公路, 能够为 HONO 的非均相生成提供丰富的颗粒物和较 大的表面积.

表 2 $HONO_{corr}/NO_2$ 比率和各相关影响因素之间的线性相关性

Table 2 Linear correlation coefficient matrix of different factors

	$\mathrm{HONO}_{\mathrm{corr}}/\mathrm{NO}_2$			
项目	1 d 24 h (00 00 ~ 23 00)	夜间13 h (19 100~07 100)		
RH	0.73	0.81		
BC	0.61	0.71		
$RH \times BC$	0.74	0.83		
PM_{10}	0.4	0.54		
$\mathrm{RH}\times\mathrm{PM}_{10}$	0.6	0.68		
PM _{2.5}	0.3	0.47		
$RH \times PM_{2.5}$	0.51	0.62		

2.2.3 相对湿度与 HONO_{corr}/NO₂ 的关系

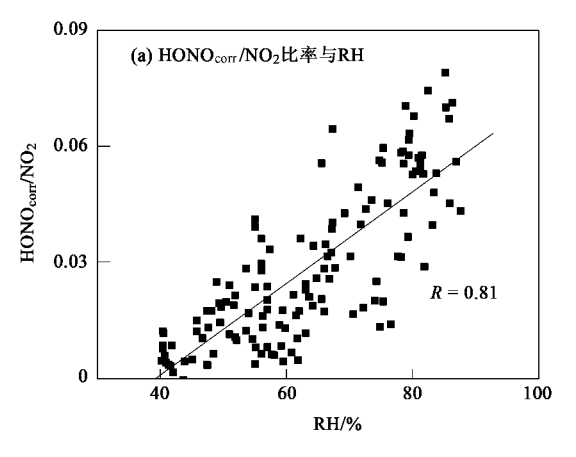
HONO 的非均相生成速率可以用公式(8)定性表示^[24],说明 HONO 的非均相生成速率与 NO₂ 的浓度以及反应介质表面吸附的水的浓度成正比即与RH 成正比.

$$\frac{d[\text{ HONO }]}{dt} \propto [\text{ NO}_2] \times [\text{ H}_2\text{O }]_{\text{surface}} \propto [\text{ NO}_2] \times \text{RH}$$
(8)

图 6(a)显示出夜间(19:00~次日 07:00)HONO_{cor}/NO₂比率与 RH 之间较好的线性相关性,相关系数 0.81 ,说明水分对 HONO 形成有着重要贡献.监测期间的 RH 在 40%~85% ,HONO_{cor}/NO₂ 比率处于增加

阶段 ,由于缺少 RH < 40% 和 > 85% 的数据 ,因此难以把握这些情况下 $HONO_{corr}/NO_2$ 比率的变化趋势.研究发现较高的 $HONO_{corr}/NO_2$ 比率一般出现在 $00:00 \sim 05:00$ 之间 ,此时 RH 也较高 ;但是 RH > 80% 时 , $HONO_{corr}/NO_2$ 比率略有下降 . RH 在 $75\% \sim 85\%$, 平均 $HONO_{corr}/NO_2$ 比率为 0.055% .图 6(b)显示出

 $HONO_{corr}/NO_2$ 比率与 $BC \times RH$ 之间较好的线性相关性 R=0.83)高于 $HONO_{corr}/NO_2$ 比率与 RH 之间的相关性 ,且 $HONO_{corr}/NO_2$ 与 BC 之间较高的相关关系 ,说明 BC 确实在 HONO 的非均相形成中起到提供反应表面的作用 ,这一实验结果进一步支持了 Annmann 等 10 的研究结果 .



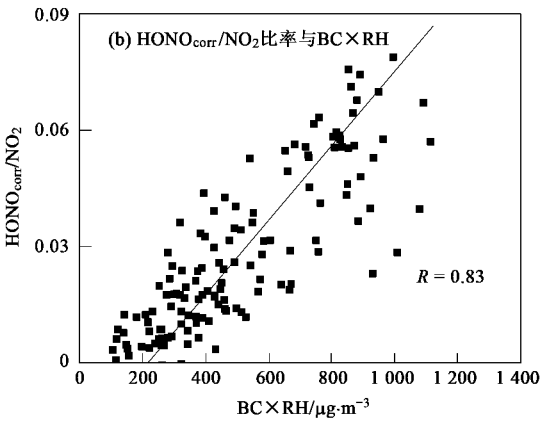


图 6 HONO_{corr}/NO₂ 比率分别与 RH 和 BC × RH 的相关性

Fig. 6 Correlation study of $HONO_{corr}/NO_2$ ratio with RH and $BC \times RH$, respectively

2.3 个例分析

从以上分析可见 BC 在 HONO 的非均相形成中起到非常重要的作用,为了更好地理解 BC 在反应中的重要性,这里比较了8月21~22日和8月23~

24 日夜间的测量结果(如图 7),从图 7中可见这 2 d 夜间的 RH 和 NO_2 浓度较为相似,但是与 $23 \sim 24$ 日相比 $21 \sim 22$ 日的 BC 浓度更高,而且变化趋势与 HONO 浓度增加的变化趋势一致,说明 BC 浓度的增

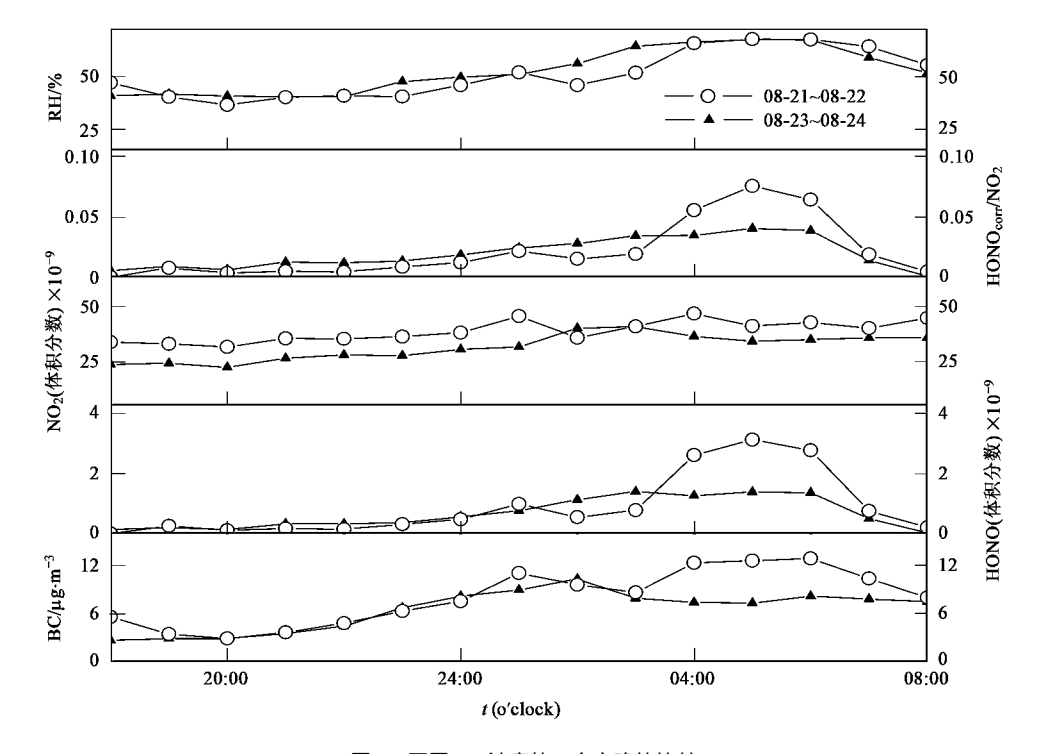


图 7 不同 BC 浓度的 2 个夜晚的比较

Fig. 7 Comparison of results obtained in two nights which has the different BC concentration

加可能导致了 HONO 浓度和 $HONO_{corr}/NO_2$ 比率的增加 原因可能是 BC 浓度的增加有利于 NO_2 在吸附有水份的 BC 表面进行反应. 比较的结果再次证明 BC 对于监测点 HONO 的非均相形成起到较为重要的作用.

在 2.2.3 节 观察到 RH 对 HONO 的非均相形成 同样起着很重要的作用.同时观察到 RH > 80% 时,HONO_{cor}/NO₂ 比率略有下降,但是实验期间 RH > 80% 的数据非常少.为了进一步确证这一结论,这里比较了具有相似 NO₂ 浓度和 BC 浓度的 2 个夜晚 8 月 $17 \sim 18$ 日和 8 月 $21 \sim 22$ 日(如图 8),图 8 中明显可见 8 月 $17 \sim 18$ 日 $18 : 00 \sim 08 : 00$ 具有更高的 RH (平均 71%) 8 月 $21 \sim 22$ 日 RH 平均 51%.图 8 可分为 2 个时段进行分析:00 : 00 以前和 $04 : 00 \sim 06 : 00$

之间.在 00:00 以前,8 月 17~18 日的 RH 低于79% 8月21~22日低于52% 图 8中显示出与8月21~22日相比8月17~18日00:00 以前 HONO 浓度要高;而在8月17~18日凌晨04:00~06:00 的 RH均大于80%,8月21~22日凌晨04:00~06:00 的 RH在65%左右相比发现8月21~22日这一时间HONO 的浓度略高于8月17~18日这一时间HONO 浓度结果表明较高的RH利于HONO 的非均相形成反应,但是RH高于80%时,对HONO 的形成有抑制作用,这一结论与上面统计结果一致.结果与文献²¹¹中认为RH高于70%时即对HONO 的非均相反应有抑制作用的结论也较为相似,差异也许在于监测点不同,HONO 非均相反应的介质(如:不同反应物的表面)不同,从而导致活化反应介质的吸附

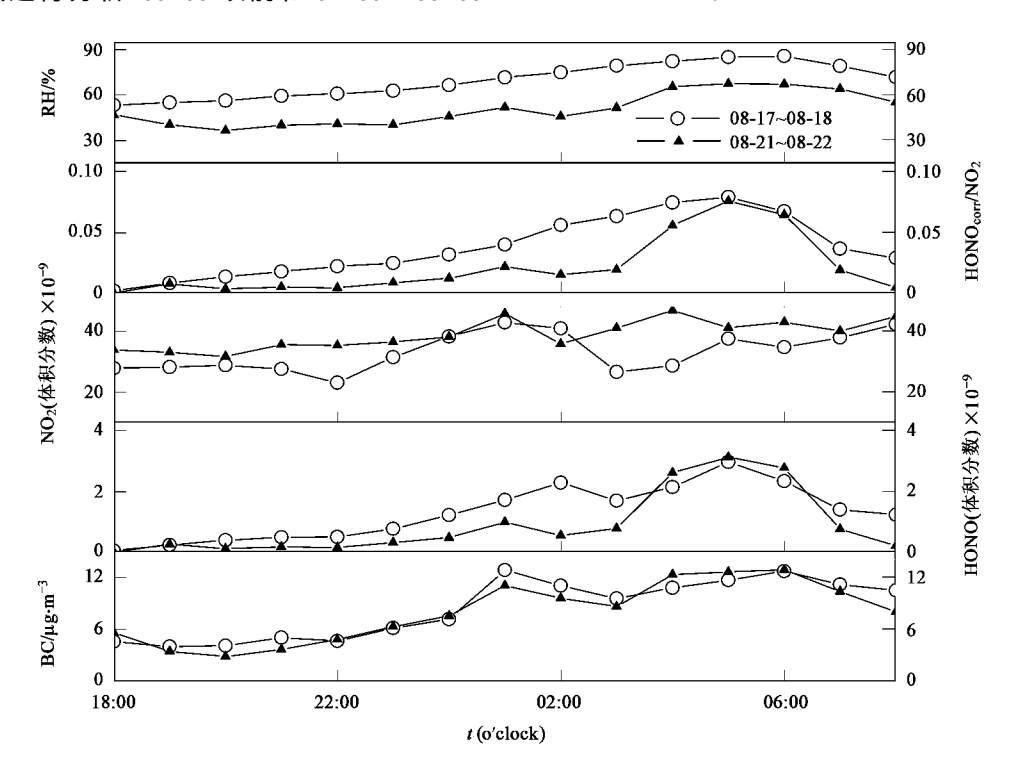


图 8 不同相对湿度的 2 个夜晚的比较

Fig. 8 Comparison of results obtained in two nights which has the different relative humidity

水量也有所不同.

3 结论

(1)NO₂ 和 HONO 具有典型日变化特征.NO₂ 分别在 01 100 左右和 07 100 左右达到峰值,因光解最低值出现在 13 100 左右.HONO 与 NO₂ 第 1 个峰值同时出现在 01 100 左右,HONO 第 2 个峰值出现在 06 100 ,比 NO₂ 第 2 个峰值出现时间 07 100 早 1 h;午间由于 HONO 的光解,浓度显著下降.

- (2)夜间(19:00~次日 07:00)直接排放对 HONO 来源的贡献最高达到 31.3% 出现在 20:00,这 与夜间的交通量高峰时刻一致;夜间平均贡献为 15%.可见夜间直接排放所占的比例较小,因此对于 夜间 HONO 还存在其它主要来源途径.
- (3) HONO 的非均相反应来源研究表明 HONO_{corr}/NO₂ 比率与BC和RH在夜间(19 00~次日 07 00)具有非常明显的相关性,说明 HONO 的非均 相生成速率与NO₂ 的浓度以及反应介质 BC 表面的

吸附水的浓度即 RH 成正比 ,得到夜间 HONO 平均转化率为 $0.8\%_{HONO/NO_2}$ h^{-1} ,与文献结果相近 . 而且 RH 的增加对 HONO 的非均相形成有利 ,但是当 RH >80%对反应也将产生抑制作用 ,通过对监测期间的个例分析也证实了这一假设 .

致谢:特别感谢中国科学院大气物理研究所王 跃思研究员及其研究小组所给予的帮助.

参考文献:

- [1] Alicke B, Geyer A, Hofzumahaus A, et al. OH formation by HONO photolysis during the BERLIOZ experiment [J]. Journal of Geophysical Research, 2003, 108(D4): 8247-8263.
- [2] Alicke B, Platt U, Stutz J. Impact of HONO photolysis on the total hydroxyl radical budget during the Limitation of Oxidant Production/ Pianura Padana Produzione di Ozono study in Milan [J]. Journal of Geophysical Research, 2002, 107(D22): 8196-8213.
- [3] Harrison R M , Peak J D , Collins G M. Tropospheric Cycle of Nitrous Acid [J]. Journal of Geophysical Research-Atmospheres , 1996 , 101 (D9): 14429-14439.
- [4] Winer A M, Biermann H W. Long pathlength differential optical absorption spectroscopy (DOAS) measurements of gaseous HONO, NO₂ and HCHO in the California South Coast Air Basin [J]. Res Chem Intermed, 1994, 20(3-5): 423-445.
- [5] Stutz J , Alicke B , Neftel A. Nitrous acid formation in the urban atmosphere: Gradient measurements of NO₂ and HONO over grass in Milan , Italy [J]. J Geophys Res , 2002 , 107(D22) , 8192 , doi: 10.1029/2001JD000390.
- [6] Pitts J N J, Wallington T J, Biermann H W, et al. Identification and masurement of nitrous acid in an indoor environment [J]. Atmospheric Environment, 1985, 19(5): 763-767.
- [7] Febo A, Perrino C. Prediction and experimental evidence for high air concentration of nitrous acid in indoor environments [J]. Atmospheric environment, 1991, 25A(5P6): 1055-1061.
- [8] Nash T. Nitrous acid in the atmosphere and laboratory experiments on its photolysis [J]. Tellus, 1974, 26:175-179.
- [9] Perner D , Platt U. Detection of nitrous acid in the atmosphere by differential optical absorption [J]. Geophysical Research Letters , 1979 , 6:917-920.
- [10] Ammann M , Kalberer M , Jost J J , et al . Heterogeneous production of nitrous acid on soot in polluted air masses [J]. Nature , 1998 , 395: 157-160.
- [11] Saliba N A, Mochida M, Finlayson-Pitts B J. Laboratory studies of sources of HONO in polluted urban atmospheres [J]. Geophysical Research Letters, 2000, 27(19):3229-3232.
- [12] Febo A, Perrino C, Allegrini I. Measurement of Nitrous Acid in Milan, Italy, by DOAS and Diffusion Denuders [J]. Atmos Env, 1996, 30(21): 3599-3609.
- [13] Jenkin M E , Cox R A , Williams D J. Laboratory studies of kinetics of formation of nitrous acid from the thermal reaction of nitrogen

- dioxide and water vapour [J]. Atmospheric Environment , 1988 , 22 (3) : 487-498 .
- [14] Calvert J G , Yarwood G , Dunker A M. An evaluation of the mechanism of nitrous acid formation in the urban atmosphere [J]. Research Chemical Intermediate , 1994 , 20: 463-502.
- [15] Finlayson-Pitts B J, Wingen L M, Sumner A L, et al. The heterogeneous hydrolysis of NO₂ in laboratory systems and in outdoor atmospheres: an integrated mechanism [J]. Physical Chemistry Chemical Physics, 2003, 5 223-242.
- [16] Harrison R M. Kitto A M N. Evidence for a surface source of atmospheric nitrous acid [J]. Atmospheric Environment , 1994 , 28 (6):1089-1094.
- [17] Kleffmann J , Kurtenbach R , Lörzer J . et al . Measured and simulated vertical profiles of nitrous acid-Part I : Field measurements , 2003 [J]. Atmospheric Environment , 2003 , 37 : 2949-2955 .
- [18] Wiesen P , Kleffmann J , Kurtenbach R. Mechanistic study of the heterogeneous conversion of NO_2 into HONO and N_2O on acid surface [J]. Faraday Discuss , 1995 , **100** : 121-127.
- [19] Gereck A , Thielmann A , Gutzwiller L. The chemical kinetics of HONO formation resulting from heterogeneous interaction of NO₂ with flame soot [J]. Geophysical Research Letters , 1998 , 25 : 2453-2456.
- [20] Qin M, Xie P H, Liu W Q, et al. Observation of atmospheric nitrous acid with DOAS in Beijing[J]. Journal of Environmental Sciences-China, 2006, 18:69-75.
- [21] Hao N, Zhou B, Chen D, et al. Observations of nitrous acid and its relative humidity dependence in Shanghai [J]. Journal of Environmental Sciences-China, 2006, 18:910-915.
- [22] 秦敏,谢品华,刘建国,等.基于二极管阵列 PDA 的紫外-可见差分吸收光谱(DOAS)系统的研[J].光谱学与光谱分析,2005,25(9):1463-1467.
- [23] Li S W, Liu W Q, Xie P H, et al. Measurement of nighttime nitrate radical in the atmosphere with long path differential optical absorption spectroscopy [J]. Advances in Atmospheric Sciences, 2007, 24(5): 875-880.
- [24] Stutz J, Alicke B, Ackermann R, et al. Relative humidity dependence of HONO chemistry in urban areas [J]. Journal of Geophysical Research, 2004, 109, D03307, dio: 10.1029/ 2003JD004135.
- [25] Kirchstetter T W , Harley R A , Littlejohn D. Measurement of nitrous acid in motor vehicle exhaust [J]. Environmental Science and Technology , 1996 , 30 : 2843-2849.
- [26] 郝楠. 对流层大气中亚硝酸的化学行为研究 D]. 上海:复旦大学 2006.
- [27] Aumont B, Madronich S, Ammann M, et al. On the NO₂ soot reaction in the atmosphere [J]. Journal of Geophysical Research 1999, 104:1729-1736.
- [28] 许黎 王亚强 陈振林 等. 黑碳气溶胶研究进展 [:排放、清除和浓度 J]. 地球科学进展 , 2006 , 21(4): 352-360.